

## ИССЛЕДОВАНИЕ ФАКТОРОВ, ОПРЕДЕЛЯЮЩИХ РАВНОВЕСИЕ И РАСКРЫТИЕ РАЗНОГЛУБИННОГО ТРАЛА

Канд. техн. наук И. Г. СМЫСЛОВ

### СИЛЫ, ДЕЙСТВУЮЩИЕ НА РАЗНОГЛУБИННЫЙ ТРАЛ

Сводя задачу динамики об устойчивости движения трала к задаче статики о его равновесии, рассмотрим силы, действующие на траул.

Возьмем какую-либо конструкцию траула, сетная часть которого симметрична (рис. 1).

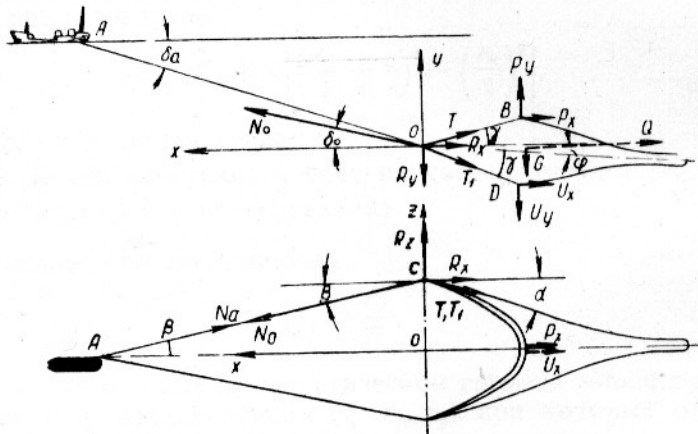


Рис. 1. Схема сил, действующих на траул

Системы сил, образуемые подъемными и углубляющими приспособлениями, могут быть сведены к равнодействующим, приложенным соответственно к верхней и нижней подборам. Эти равнодействующие двухкомпонентны: одной — является лобовое сопротивление, направленное горизонтально против движения; другой — подъемная и углубляющая силы, направленные вертикально.

Равнодействующая сила, создаваемых распорным приспособлением, в общем случае трехкомпонентна, т. е., помимо вышеуказанных двух, имеется еще третий компонент — распорная сила.

Таким образом, на половину траула, отнесенную к одному ваеру, будут действовать следующие силы (см. рис. 1).

1. Силы лобового сопротивления (направленные по вектору скорости):

$P_x$  — поплавков (подъемных приспособлений);

$U_x$  — грузил или углубляющих приспособлений;

$R_x$  — распорного приспособления;

$Q$  — сетной части траула.

## 2. Вертикальные силы:

$P_y$  — подъемная сила поплавков (подъемных приспособлений);

$U_y$  — углубляющая сила углубляющих приспособлений;

$R_y$  — углубляющая сила распорных устройств;

$\frac{G}{2}$  — вес трала в воде.

## 3. Натяжение ваера:

$N_a$  — натяжение ваера у стопорного устройства, направленное по касательной к ваеру;

$N_o$  — то же на конце ваера, т. е. в месте прикрепления распорного устройства;

$N_z$  — горизонтальная составляющая натяжения ваера

$$N_z = N_o \cos \delta_o.$$

4.  $R_z$  — распорные силы распорных устройств, действующие горизонтально, перпендикулярно вектору скорости. Введя некоторые дополнительные обозначения, рассмотрим условия статического равновесия разноглубинного трала. Обозначим:

$L$  — длина вытравленных ваеров;

$2a$  — горизонтальное раскрытие трала, или расстояние между распорными устройствами;

$B$  — вертикальное раскрытие трала;

$f$  — стрела прогиба подборы;

$k$  — расстояние от оси  $z$  до геометрического центра сетной части трала;

$\alpha$  — угол между проекцией касательной к подборам в точке  $C$  на плоскость  $xz$  с направлением течения;

$2\beta$  — угол между ваерами;

$\gamma$  — угол между проекциями подбор на плоскость  $xy$  и осью симметрии сетной части трала;

$\delta_a$  — угол наклона ваера к горизонту в точке  $A$ ;

$\delta_o$  — угол наклона ваера к горизонту в точке  $O$ ;

$\varphi$  — угол наклона оси симметрии трала к горизонту.

Возьмем начало координат в точке  $O$ . Ось  $x$  направим горизонтально навстречу потоку, ось  $y$  — вертикально вверх, ось  $z$  — горизонтально, перпендикулярно направлению потока.

Согласно принятым обозначениям условия равновесия можно написать в следующем виде:

$$\Sigma x = 0; \quad N_o \cos \beta \cos \delta_o - T \cos \alpha \cos (\gamma - \varphi) - T_1 \cos \alpha \cos (\gamma - \varphi) - R_x - P_x - U_x = 0;$$

$$\Sigma y = 0; \quad N_o \sin \delta_o + T \cos \alpha \sin (\gamma - \varphi) - T_1 \cos \alpha \sin (\gamma - \varphi) - R_y - U_y - G + P_y = 0;$$

$$\Sigma z = 0; \quad -N_o \sin \beta \cos \delta_o - T \sin \alpha \cos (\gamma - \varphi) - T_1 \sin \alpha \cos (\gamma - \varphi) + R_z = 0.$$

Преобразуем полученные уравнения, имея в виду, что при малых значениях угла  $\varphi$  величина  $T_1$  близка к  $T$ .

Обозначим

$$R_x + P_x + U_x = C; \quad R_y + U_y + G - P_y = E. \quad (1)$$

Подставив эти значения в предыдущие уравнения, получим

$$N_o \cos \beta \cos \delta_o = 2T \cos \alpha \cos \gamma \cos \varphi + C; \quad (2)$$

$$N_o \sin \delta_o = 2T \cos \alpha \cos \gamma \sin \varphi + E; \quad (3)$$

$$N_o \sin \beta \cos \delta_o = R_z - 2T \sin \alpha \cos \gamma \cos \varphi. \quad (4)$$

Распорные силы  $R_z$ , создающие горизонтальное раскрытие трала, располагаются в плоскости  $xz$  и направлены из системы перпендикулярно вектору скорости. Равными им, но обратно направленными (т. е. внутрь системы) будут силы, стягивающие концы подбор трала.

Решим уравнение (4) относительно  $R_z$

$$R_z = N \sin \beta \cos \delta_o + 2T \sin \alpha \cos \gamma \cos \varphi. \quad (5)$$

При увеличении скорости траления угол между горизонтальной плоскостью и осью симметрии сетной части трала стремится к нулю. При  $\varphi$ , близком к нулю, в силу симметричности  $T_1 = T$  и равенство

$$T \cos \alpha \cos (\gamma - \varphi) + T_1 \cos \alpha \cos (\gamma + \varphi) = \frac{Q}{2}$$

приобретает вид

$$\frac{Q}{2} = 2T \cos \alpha \cos \gamma,$$

откуда

$$2T \sin \alpha \cos \gamma = \frac{Q}{2} \operatorname{tg} \alpha, \quad (6)$$

а следовательно,

$$R_z = N \cos \delta_o \sin \beta + \frac{Q}{2} \operatorname{tg} \alpha. \quad (7)$$

Уравнение (7) связывает три основные величины системы: стягивающие усилия подбор, натяжение ваера и сопротивление сетной части трала.

Сопротивление сетной части трала определяется из уравнения

$$Q = 2N \cos \beta \cos \delta_o - 2C. \quad (8)$$

Тангенс угла наклона касательной к ваеру в точке  $O$  можно определить, разделив уравнение (3) на уравнения (2) и (4):

$$\operatorname{tg} \delta_o = \frac{(2T \cos \alpha \cos \gamma \sin \varphi + E)(\sin \beta + \cos \beta)}{2T \cos \alpha \cos \gamma \cos \varphi - 2T \sin \alpha \cos \gamma \cos \varphi + C + R_z}. \quad (9)$$

В рабочем положении угол  $\varphi$  близок к нулю, и уравнение (9) принимает вид

$$\operatorname{tg} \delta_o = \frac{E(\sin \beta + \cos \beta)}{\frac{Q}{2}(1 - \operatorname{tg} \alpha) + C + R_z}. \quad (10)$$

При малой длине и достаточно большой силе натяжения ваеров последние можно считать прямолинейными, так как провес их будет незначителен.

Тогда

$$h = L \sin \delta_o, \quad (11)$$

где:  $h$  — глубина погружения трала;

$L$  — длина ваера.

Уравнения (10) и (11) являются основными уравнениями статического равновесия трала.

Как видно из уравнения (10), глубина погружения симметричного трала в основном зависит от отношения углубляющих сил к силам

сопротивления и распора. Трал будет устойчиво двигаться на заданной глубине, если при изменении скорости это соотношение будет оставаться постоянным.

$\sin \beta$  и  $\cos \beta$ , увеличивая числитель, увеличивают правую часть уравнения, а следовательно, увеличивают величину погружения трала. Однако изменение этих величин незначительно.

Основное влияние на глубину погружения оказывает соотношение вертикальных и горизонтальных сил, действующих на трал.

У тралов с поддоном (нижним сквером) будут возникать дополнительные углубляющие силы, у тралов со сквером — подъемные, вследствие несимметричности их сетной части.

### ВЛИЯНИЕ СОПРОТИВЛЕНИЯ И ВЕСА ВАЕРА НА РАВНОВЕСИЕ РАЗНОГЛУБИННОГО ТРАЛА

На ваер действуют две распределенные силы — сила веса и сила давления воды. Вес и вертикальная составляющая давления воды обратны по направлению. Если вес будет уравновешиваться этой вер-

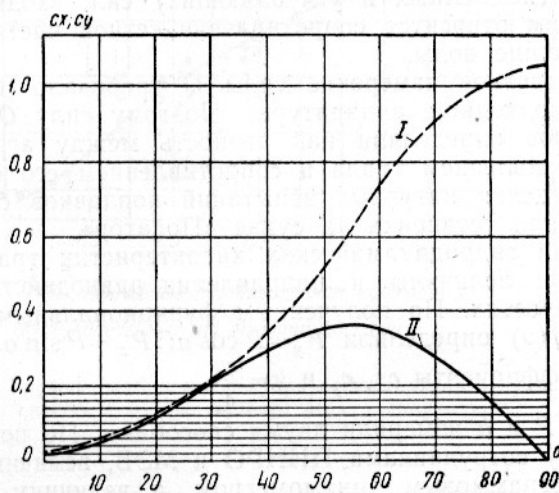


Рис. 2. Зависимость коэффициентов сопротивления и подъемной силы от угла наклона веера:

$$I - c_x = f(\alpha); \quad II - c_y = f(\alpha)$$

тической составляющей  $W_y$ , то веер в вертикальной плоскости  $xy$  будет принимать прямолинейное положение. При этом

$$\delta = \text{const.}$$

Сопротивление веера и его подъемная сила в воде при тралении могут быть определены по формулам

$$W_x = c_x \frac{\rho v^2}{2} d \sin \epsilon, \quad W_y = c_y \frac{\rho v^2}{2} d \sin \epsilon, \quad (12)$$

где:  $d$  — диаметр веера;

$\epsilon$  — угол наклона веера к направлению потока в плоскости;

$c_x$  и  $c_y$  — опытные коэффициенты лобового сопротивления и подъемной силы.

Зависимость этих коэффициентов от угла наклона приведена на графике (рис. 2).

Пренебрегая провесом веера в вертикальной и прогибом в горизонтальной плоскостях, будем считать, что сила натяжения направлена

по ваеру. При этом углы  $\beta$  и  $\delta$  также будут постоянны по всей длине ваера. Тогда будут иметь место равенства

$$\delta_0 = \delta_a = \delta; \quad \beta_0 = \beta_a = \beta.$$

Зная величину и направление силы натяжения у стопора (точка  $A$  на рис. 1), можно определить натяжение ваера в любой точке

$$N = N_a - ph, \quad (13)$$

где:  $N$  — натяжение ваера на глубине  $h$ ;

$h$  — глубина погружения рассматриваемой точки ваера;

$p$  — вес единицы длины ваера.

#### МЕТОДИКА ПРОВЕДЕНИЯ ЭКСПЕРИМЕНТАЛЬНЫХ РАБОТ

В уравнения равновесия и раскрытия трала (8), (9) и (10), кроме вертикальных (подъемных и углубляющих) сил, входят силы сопротивления; к ним относится сопротивление сетной части трала  $Q$  при движении в толще воды.

Непосредственное измерение силы  $Q$  требовало бы разработки специальной подводной аппаратуры. Поэтому силу  $Q$  опытных конструкций тралов определяли как разность между агрегатным, т. е. полным, сопротивлением трала и сопротивлением его оснастки.

Для проведения натурных испытаний поплавков была смонтирована специальная установка на судне «Новатор».

При снятии гидродинамических характеристик траловых поплавков определяли величины и направления равнодействующей  $P$  при различных скоростях. По полученным функциональным зависимостям  $P=f(v)$  и  $\alpha=f(v)$  определили  $P_y=P \cos \alpha$ ;  $P_x=P \sin \alpha$ , а также безразмерные коэффициенты  $c_x$ ,  $c_y$  и  $k=\frac{c_y}{c_x}$ .

Величины  $P$  и  $\alpha$  измеряли двумя способами. По первому способу, разработанному сотрудниками ПИИРо и МЭБ, величину  $P$  измеряли пятидесятикилограммовым динамометром, а величину угла отсчитывали визуально по градуированному сектору.

Способ прост, но не точен, так как при плохих гидрометеорологических условиях сектор под водой был плохо виден и отсчет углов производился с большими погрешностями. На графике (рис. 3) можно видеть, что разброс точек при визуальных отсчетах углов по сектору велик; полученные данные также оказались недостаточно достоверными.

Кроме указанных при определении  $\alpha$ , погрешности возникали при определении силы  $P$  от трения и от перегибов на блоках тросика, на котором буксировался образец.

Для получения более достоверных гидродинамических характеристик поплавков была разработана специальная электроизмерительная аппаратура<sup>1</sup>, состоявшая из электродатчика угловых перемещений, дистанционного пружинного электродинамометра и измерительного моста. Принципиальная схема электроаппаратуры приведена на рис. 4.

Смонтированные в блок датчики прикрепляли к подводной части установки; с помощью аппаратуры измеряли величины полной гидродинамической силы  $P$  поплавка и угла  $\alpha$  между направлением этой силы и вертикалью при разных скоростях.

<sup>1</sup> Разработка аппаратуры производилась канд. техн. наук Яковлевым А. И. совместно с автором.

Для измерения скоростей была приспособлена вертушка Жестовского Ж-3. Испытания проводили в диапазоне скоростей от 1,2 до 2,3 м/сек с таким расчетом, чтобы перекрывались существующие скорости траения. Скорости измеряли по ступени от малых до предельных шестикратно. Каждый опыт повторяли трижды. Так как практически невозможно было получить скорости предыдущего опыта, то при обработке материалов был применен метод вариационных исчислений.

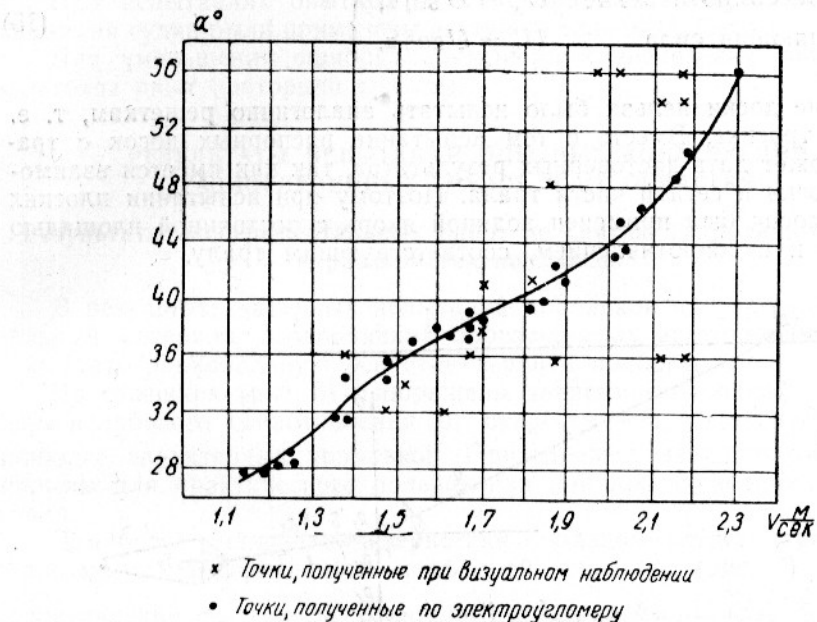


Рис. 3. График разброса точек при отсчете углов визуальным способом и при помощи электроаппаратуры

Методика получения гидродинамических характеристик распорных и углубляющих решеток аналогична методике снятия гидродинамических характеристик траевых поплавков.

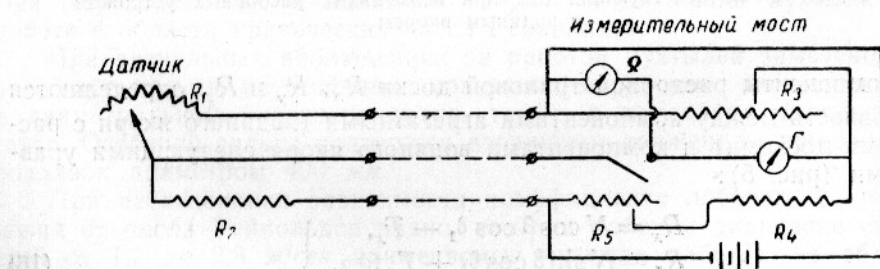


Рис. 4. Принципиальная схема электроаппаратуры

Определяли величину равнодействующей и ее направление при различных скоростях движения, а затем в результате обработки данных получали функциональные зависимости от скорости величин  $R_x$ ,  $R_z$  и  $R_y$  для распорных и  $U_x$ ,  $U_y$  для углубляющих решеток.

Компоненты полной гидродинамической силы, создаваемой распорной решеткой, определяются уравнениями

$$\left. \begin{array}{ll} \text{лобовое сопротивление} & R_x = R \cos \beta \cos \delta, \\ \text{распорная сила} & R_z = R \sin \beta \cos \delta, \\ \text{углубляющая сила} & R_y = R \sin \delta. \end{array} \right\} \quad (14)$$

Компоненты равнодействующей силы, создаваемой углубляющей решеткой, определяются уравнениями

$$\left. \begin{array}{ll} \text{лобовое сопротивление} & U_x = U \sin \alpha, \\ \text{углубляющая сила} & U_y = U \cos \alpha. \end{array} \right\} \quad (15)$$

Плоские доски нельзя было испытать аналогично решеткам, т. е. на одном тросике. Вместе с тем испытание распорных досок с тралями не может дать достоверных результатов, так как имеется взаимовлияние доски и сетной части трала. Поэтому при испытании плоских тралевых досок был применен водяной якорь с постоянной площадью раскрытия и с сопротивлением, соответствующим тралу.

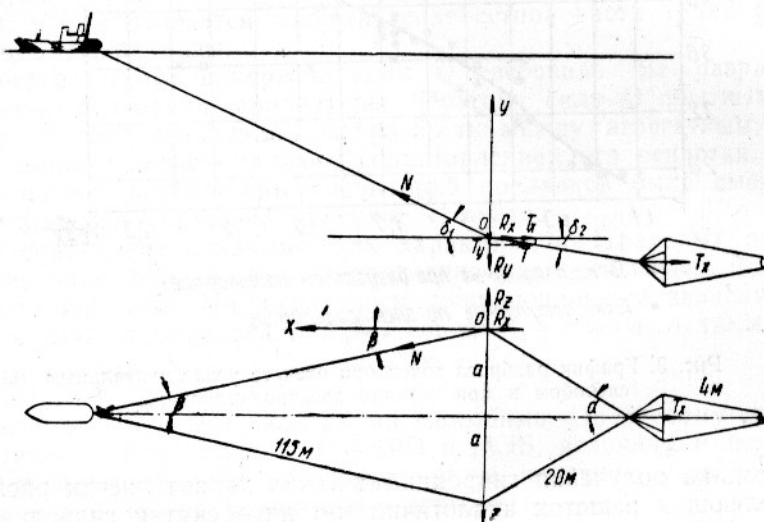


Рис. 5. Схема действующих сил при испытаниях распорных устройств с водяным якорем

Компоненты распорной тралевой доски  $R_x$ ,  $R_y$  и  $R_z$  определяются как разность между компонентами агрегатными (водяного якоря с распорными досками) и компонентами водяного якоря следующими уравнениями (рис. 5):

$$\left. \begin{array}{l} R_x = N \cos \beta \cos \delta_1 - T_x, \\ R_z = N \sin \beta \cos \delta_1 + T_x \operatorname{tg} \alpha, \\ R_y = N \sin \delta_1 - T_y. \end{array} \right\} \quad (16)$$

Вследствие того что длина кабелей равнялась 20 м, а длина ваеров 115 м и их размеры при испытаниях оставались постоянными, зависимость между углами выражается следующим уравнением:

$$\sin \alpha = 5,75 \sin \beta, \quad (17)$$

где  $\beta$  — половина угла между ваерами, а  $\alpha$  — половина угла между кабелями.

При испытаниях опытных конструкций разноглубинного трала измеряли натяжение ваеров, углы между ваерами, глубину погружения распорных устройств и подбор трала. Для этого были применены приборы глубины — автографы, без которых невозможен был бы контроль за работой трала. Натяжение ваеров измеряли динамометром ТД-3 и динамографом системы ВИСХОМа, включаемыми в ваер посредством конических стопоров. Горизонтальное раскрытие определяли по углу между ваерами и по расстоянию между буйками.

При испытаниях опытных конструкций для измерения скоростей движения судна были применены вертушки типа Ж-3, Отто-V.

Для уменьшения ошибок наблюдений и увеличения точности результатов опыт повторяли трижды.

## РЕЗУЛЬТАТЫ ИСПЫТАНИЙ ОПЫТНЫХ КОНСТРУКЦИЙ РАЗНОГЛУБИННЫХ ТРАЛОВ И ИХ ОСНАСТКИ

### Результаты экспериментальных работ по снятию гидродинамических характеристик поплавков<sup>1</sup>

В результате натурных испытаний поплавков получен экспериментальный материал, позволяющий произвести их всестороннюю оценку и выбрать рациональную оснастку верхней подборы трала.

На графиках (рис. 6) изображены зависимости полной подъемной силы и лобового сопротивления от скорости —  $P_y = f(v)$  и  $P_x = f(v)$  — наиболее характерных поплавков. Приведенные зависимости предназначены для практического пользования при проектировании оснастки трала.

Для более полной характеристики образцов служат графические зависимости коэффициентов подъемной силы  $c_y$  (рис. 7), лобового сопротивления  $c_x$  (рис. 8) и полного качества  $k = \frac{c_y}{c_x}$  (рис. 9).

Данные по испытаниям шаровидных поплавков (кухтылей) с некоторым приближением можно сравнить с результатами многочисленных исследований шаров в аэrodинамических трубах.

Полученные величины коэффициентов лобового сопротивления  $c_x$  кухтылей превышают аналогичные коэффициенты полированных шаров. Характер изменения зависимости  $c_x$  от числа Рейнольдса (Re) идентичен. Разница в числовых значениях может быть объяснена большей шероховатостью и наличием вторичных движений кухтыля при работе в области критических чисел Рейнольдса.

При визуальных наблюдениях за работой кухтылей замечено, что они идут весьма неустойчиво, совершая вторичные движения как в диаметральной плоскости судна, так и в плоскости мидельшпангоута. Особенно сильно подвержен вторичным движениям шаровидный поплавок диаметром 400 мм.

При исследовании зависимости коэффициента лобового сопротивления от числа Рейнольдса видно, что при рабочем диапазоне скоростей от 1,2 до 2,3 м/сек применяемые кухтыли работают в области критических чисел Рейнольдса или близких к ним. Так, для кухтылей диаметром 200 мм область чисел Рейнольдса колеблется от  $2 \cdot 10^5$  до  $3,5 \cdot 10^5$ .

Для шаровидного поплавка диаметром 400 мм числа Рейнольдса колеблются от  $3,5 \cdot 10^5$  до  $7 \cdot 10^5$ , т. е. находятся в критической области.

Из группы кухтылей с наделками заслуживает внимания поплавок К-200 (типа «Филлипс»). Сохраняя все положительные свойства

<sup>1</sup> В испытаниях совместно с автором принимали участие тт. А. И. Яковлев, Г. А. Траубенберг и Б. Г. Кутаков.

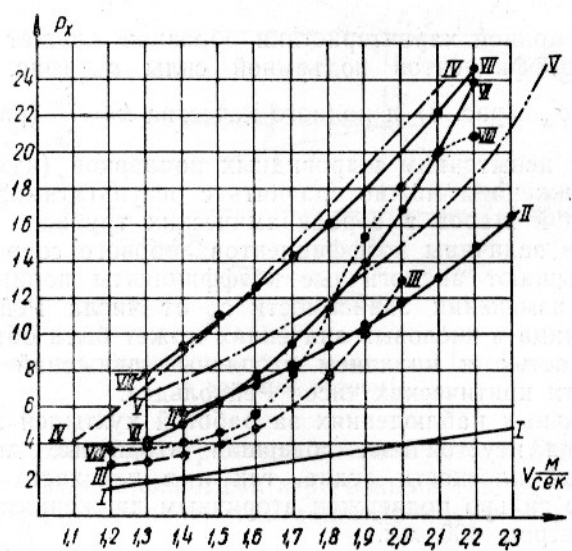
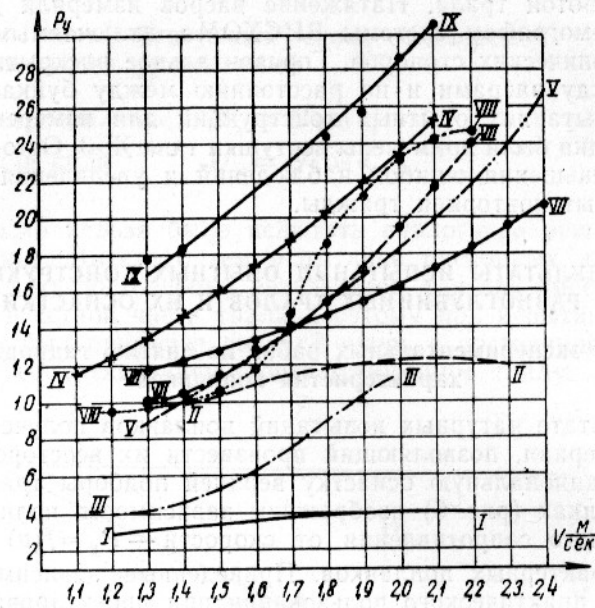


Рис. 6. Зависимость полной подъемной силы  $P_y$  и лобового сопротивления  $P_x$  от скорости для лоплавков:

I — шаровидного силуминового,  $d=200$  мм; II — шаровидного стального,  $d=400$  мм; III — K=200; IV — пластины Янсона; V — пластины Васильева; VI — близнецев Старовойтова; VII — пенопластового,  $d=250$  мм; VIII — пенопластового комбинированного; IX — пенопластового,  $d=300$  мм

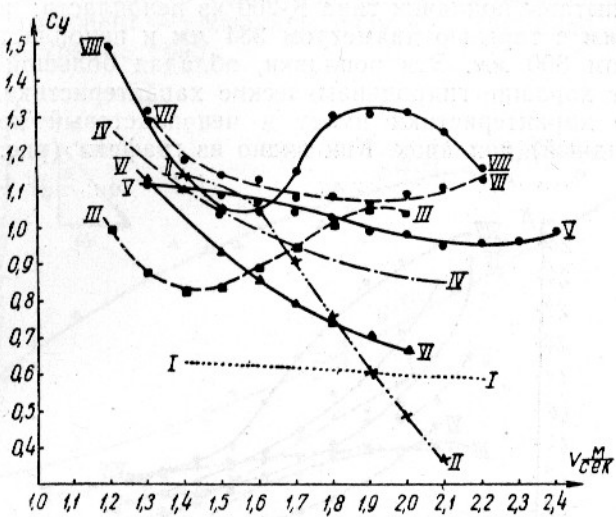


Рис. 7. Зависимость коэффициента подъемной силы от скорости для поплавков:

I — шаровидного силуминового,  $d=200$  мм; II — каплевидного; III —  $K=200$ ; IV — пластины Янсона; V — пластины Васильева; VI — близнецов Старовойтова; VII — пенопластового,  $d=250$  мм; VIII — пенопластового комбинированного

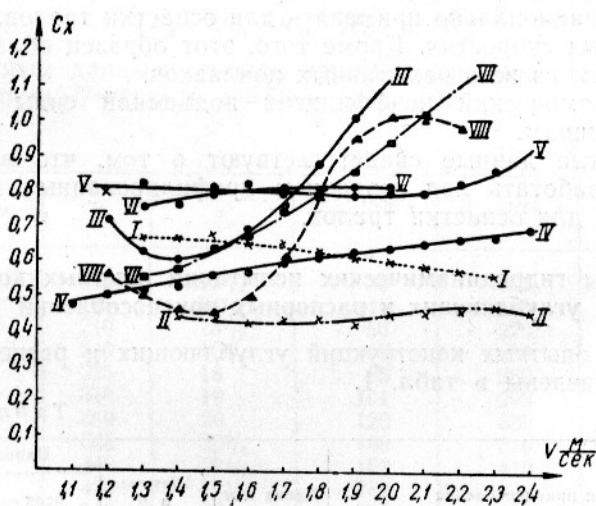


Рис. 8. Зависимость коэффициента лобового сопротивления  $C_x$  от скорости для разных поплавков

(II — шаровидного силуминового,  $d=400$  мм; остальные обозначения те же, что и на рис. 7)

шаровидных поплавков, обладающих идеальным сопротивлением сжатию, этот образец имеет улучшенные гидродинамические характеристики.

Были испытаны поплавки типа К-200 из пенопласта: поплавок диаметром 250 мм с тарелью диаметром 334 мм и пенопластовый поплавок диаметром 300 мм. Эти поплавки, обладая большой статической силой, имеют хорошие гидродинамические характеристики.

Хорошие характеристики имеет и пенопластовый комбинированный (грибовидный) поплавок. Как видно из графика (рис. 6), подъем-

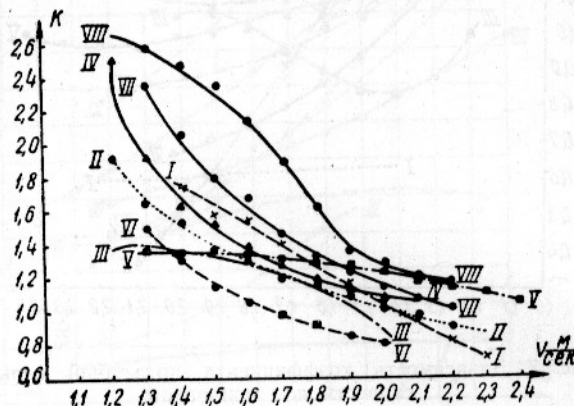


Рис. 9. Зависимость коэффициента  $k = \frac{c_y}{c_x}$  от скорости для поплавков, обозначенных на рис. 7

ная сила этого поплавка резко возрастает с повышением скорости. Поэтому его рационально применять для оснастки тралов, работающих на повышенных скоростях. Кроме того, этот образец обладает наилучшим качеством из всех испытанных поплавков.

Гидродинамический коэффициент подъемной силы пластин является наилучшим.

Полученные данные свидетельствуют о том, что в дальнейшем необходимо работать над созданием профилированных пластин, приспособленных для оснастки тралов.

### Результаты гидродинамических испытаний опытных конструкций углубляющих и распорных приспособлений

Размеры опытных конструкций углубляющих и распорных приспособлений приведены в табл. 1.

Таблица 1

Тип приспособления	Длина в м	Ширина в м	Площадь в м <sup>2</sup>	
			всех планов	общая
Углубляющая решетка . . . . .	0,67	0,65	0,34	0,44
Углубляющая решетка . . . . .	1,236	1,130	1,01	1,40
Распорная решетка . . . . .	1,236	1,130	1,01	1,40
Распорная плоская доска . . .	2,000	1,100	—	2,20

Имея одинаковые размеры, распорная решетка отличается от углубляющей устройством шпрюитов и наличием стабилизирующего буя. Плавучесть буя меньше веса решетки в воде, однако она доста-

точна для того, чтобы придавать распорной решетке наклон относительно диаметральной плоскости судна.

В результате наклона равнодействующая сил, действующих на решетку, помимо лобового сопротивления и углубляющей силы, образует третий компонент — распорную силу  $R_z$ . Эта сила создает горизонтальное раскрытие траха.

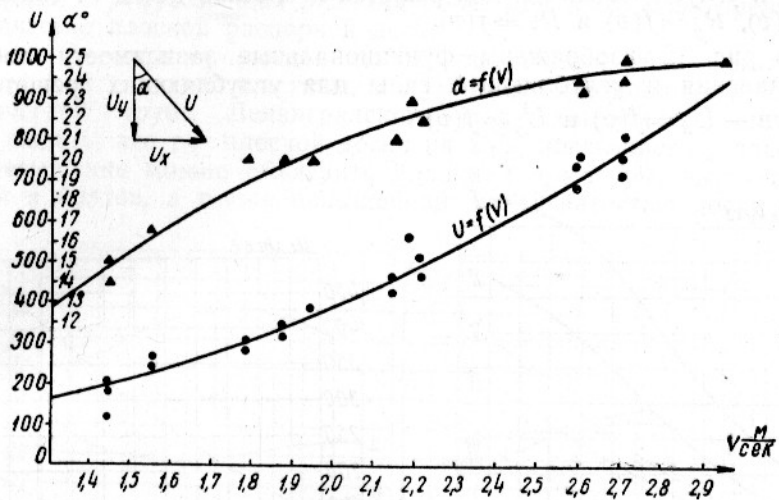


Рис. 10. Кривые, полученные в результате обработки данных по испытанию углубляющей решетки

В результате обработки материалов испытаний распорных и углубляющих решеток были получены значения:

$$U_y, U_x, R_x, R_y \text{ и } R_z.$$

По опытным данным строили кривые, выражающие функциональные зависимости  $U=f(v)$  и  $\alpha=f(v)$  (рис. 10).

Таблица 2

$v$ в м/сек	$U$	$\alpha^\circ$	$U_x = U \sin \alpha$	$U_y = U \cos \alpha$	Качество $k$
1,3	160	12 $^{\frac{1}{4}}$	35	155	4,43
1,4	185	14 $^{\frac{1}{4}}$	45	180	4,0
1,5	210	15 $^{\frac{1}{2}}$	56	229	3,93
1,6	240	16 $^{\frac{1}{4}}$	69	260	3,34
1,7	275	18	85	260	3,06
1,8	310	19	101	293	2,91
1,9	350	20	120	330	2,75
2,0	395	20 $^{\frac{3}{4}}$	140	370	2,64
2,1	440	21 $^{\frac{1}{2}}$	163	410	2,52
2,2	490	22 $^{\frac{1}{4}}$	185	453	2,45
2,3	545	23	213	500	2,35
2,4	600	23 $^{\frac{1}{2}}$	240	550	2,29
2,5	655	23 $^{\frac{3}{4}}$	268	600	2,28
2,6	715	24 $^{\frac{1}{4}}$	292	650	2,22
2,7	775	24 $^{\frac{1}{2}}$	322	705	2,19
2,8	840	24 $^{\frac{3}{4}}$	350	760	2,17
2,9	910	24 $^{\frac{3}{4}}$	380	825	2,17

Значения ординат  $U$  и  $\alpha$  сведены в табл. 2; пользуясь уравнениями (15), вычисляли значения  $U_x$  и  $U_y$ , а при помощи уравнений (14) обрабатывали данные испытаний распорно-углубляющих

решеток и находили значения компонентов  $R_x$ ,  $R_y$  и  $R_z$  в том же диапазоне скоростей.

Данные по испытаниям распорной плоской доски обработаны по уравнениям (16) и (17).

Результаты испытаний показаны на графиках в виде кривых.

На рис. 11 изображены зависимости лобового сопротивления, распорной и углубляющей сил для решетки и плоской доски от скорости —  $R_x = f(v)$ ,  $R_y = f(v)$  и  $R_z = f(v)$ .

На рис. 12 изображены функциональные зависимости лобового сопротивления и углубляющей силы для углубляющих решеток от скорости —  $U_x = f(v)$  и  $U_y = f(v)$ .

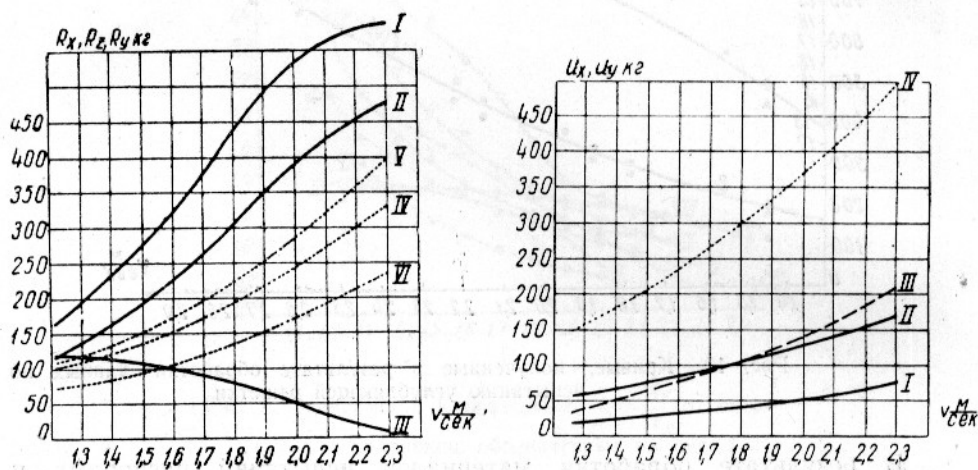


Рис. 11. Зависимость лобового сопротивления, распорной и углубляющей сил от скорости:

I, II, III—соответственно  $R_x = f(v)$ ;  $R_z = f(v)$ ;  $R_y = f(v)$  для распорных досок;  
IV, V, VI—соответственно  $R_x = f(v)$ ;  $R_z = f(v)$ ,  $R_y = f(v)$  для решеток

Рис. 12. Зависимость лобового сопротивления и углубляющей силы решеток от скорости:

I, II—соответственно  $U_x = f(v)$ ;  $U_y = f(v)$  для малых решеток; III, IV—соответственно  $U_x = f(v)$ ;  $U_y = f(v)$  для больших решеток

Кривые, приведенные на этих графиках, позволяют судить лишь о величине сил.

Для получения более сравнимых данных выразим величины посредством безразмерных коэффициентов. На рис. 13 показаны кривые, выражающие зависимость безразмерных коэффициентов  $c_x$ ,  $c_y$  и  $c_z$  от скорости для опытных распорно-углубляющих приспособлений.

Как видно, при сравнении кривых наибольший коэффициент лобового сопротивления  $c_x$  имеет плоская распорная доска (кривая I).

При общепринятых скоростях трааления 3,2—3,5 узла (1,7—1,8 м/сек)  $c_x$  плоской доски превышает  $c_x$  распорной решетки в 1,6 раза и  $c_x$  углубляющей решетки в 2,25—2,5 раза.

Распорная решетка одинаковых габаритов с углубляющей решеткой имеет большее значение  $c_x$  из-за дополнительного сопротивления, образуемого шпройтами и стабилизирующим буем (кривые II и IV).

Коэффициент распорной силы  $c_z$  распорно-углубляющей решетки (кривая II) почти одинаков с  $c_z$  плоской доски (кривая I).

Однако полезные силы решетки значительно превышают полезные силы распорной доски вследствие наличия у первой углубляющей силы (кривая V).

Полезные силы углубляющей решетки  $c_y$  (кривая JV) значительно больше полезных сил плоской доски  $c_z$  (кривая I).

Еще большее различие имеет качество опытных конструкций при общепринятых скоростях траения. Для плоской распорной доски  $k \approx 0,75$ , для распорной решетки  $k=1,3$ , для углубляющей решетки  $k > 2,7$ . Таким образом, распорная решетка обладает качеством, в 1,75 раза, а углубляющая решетка более чем в 3,5 раза превышающим качество плоской распорной доски.

Если сравнить  $c_x$  плоской доски, полученный при испытаниях, с  $c_x$  плоской гладкой пластины, полученным при продувках в аэродинамической трубе Ленинградского политехнического института, можно видеть, что  $c_x$  плоской доски на 25% превышает  $c_x$  пластины. Это превышение можно объяснить наличием арматуры, выступающих деталей и болтов, а также повышенной шероховатостью доски.

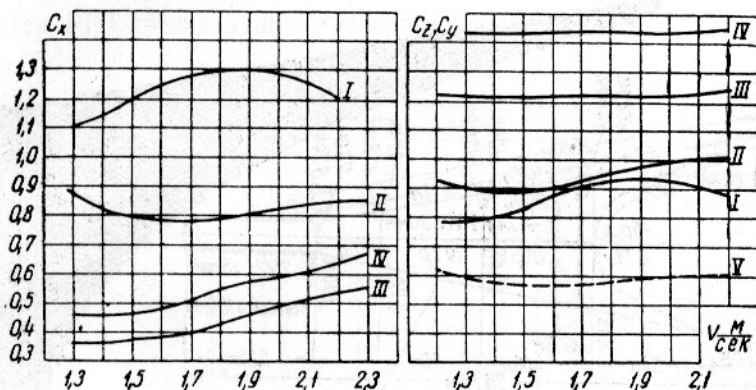


Рис. 13. Зависимость коэффициентов  $c_x$ ,  $c_y$  и  $c_z$  распорных и углубляющих приспособлений от скорости:

I— $c_x$  для распорной плоской доски; II—для распорно-углубляющей решетки; III—для углубляющей большой решетки; IV—для углубляющей малой решетки; V—для распорно-углубляющей решетки.

Гидродинамические характеристики распорной и углубляющей решеток несравненно лучше характеристик плоской распорной доски. Этим подтверждается правильность обоснования выбора опытных конструкций распорных и углубляющих решеток для оснастки траолов.

## РЕЗУЛЬТАТЫ ХОДОВЫХ ИСПЫТАНИЙ ОПЫТНЫХ КОНСТРУКЦИЙ РАЗНОГЛУБИННОГО ТРАЛА ТИПА ПИРО

Были построены три различных по величине опытных образца этой конструкции. Условимся сокращенно именовать их РПТ (рыболовный разноглубинный траул), прибавляя к названию цифру, показывающую раскрытие траула. Так, траул с раскрытием 10 м между концами подбор будем называть РПТ-10, с раскрытием в 15 м — РПТ-15 и т. д. Раскроочный чертеж одной из четырех проекций сетной части РПТ-10 изображен на рис. 14.

Пластины мотни и кутка траула выкраивали из готовой хлопчатобумажной дели. Крылья вывязывали по чертежу. Крыло проектируем следующим образом:

задаемся раскрытием траула на концах подбор;

задаемся отношением длины хорды к длине цепной линии

$$\lambda = \frac{l}{S};$$

задаемся углом наклона топенантов  $\alpha^\circ$  и по таблицам гиперболических функций находим  $\operatorname{tg} \alpha = Sh\varphi$ .

Для РПТ-10  $l=10$  м;  $\lambda=0,475$ ;  $\alpha=10^\circ 50'$ .

По таблицам элементов цепной линии находим

$$Sh\varphi = 4,472.$$

По имеющимся значениям

$$S = \frac{l}{\lambda}; \quad S = \frac{10}{0,475} = 21,05 \text{ м.}$$

Находим параметр цепной линии

$$a = \frac{S}{2Sh\varphi} = \frac{21,05}{2 \cdot 4,472} = 2,35 \text{ м.}$$

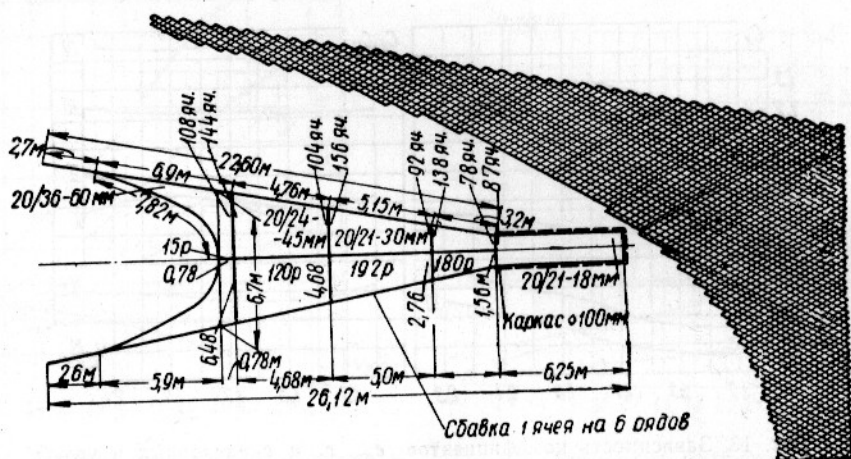


Рис. 14. Раскроочный чертеж сетной части опытной конструкции РПТ-10 типа ПИНРО

Находим некоторые ординаты цепной линии. Для этого, задаваясь величинами  $x$ , определяем величину  $y$  и  $f$

$$y = a \operatorname{ch} \frac{x}{a}; \quad f = y - a.$$

Крыло трала вычерчивали в возможно крупном масштабе. В данном случае брали  $M=1:10$ . Ячей трала вычерчивали на чертеже с учетом посадки  $u_1:u_2=0,5:0,867$ .

По сшивным кромкам крыло имеет постоянную сбивку 1:3. Подборы трала изготавливали из каната «Геркулес».

Аналогичный раскрой имела и опытная конструкция РПТ-15.

В настоящее время раскрой крыльев трала упрощен, а тралы изготавливают из капроновых делей.

### ЗАВИСИМОСТЬ РАВНОВЕСИЯ И ГЛУБИНЫ ПОГРУЖЕНИЯ ОПЫТНЫХ КОНСТРУКЦИЙ РАЗНОГЛУБИННОГО ТРАЛА ОТ СКОРОСТИ

Величину и изменение глубины погружения характерных точек трала в зависимости от скорости определяли по записям автографов.

За характерные точки были приняты концы верхних и нижних подбор и концы ваеров в месте прикрепления распорных приспособлений.

При обработке данных испытаний методом графической интерполяции для РРТ-10 получены зависимости глубины погружения распорных устройств  $h_1$ , глубины погружения верхней подборы  $h_2$  и глубины погружения нижней подборы  $h_3$  от скорости, приведенные в табл. 3.

Таблица 3

v в м/сек	При длине ваеров L в м								
	100			200			300		
	$h_1$	$h_2$	$h_3$	$h_1$	$h_2$	$h_3$	$h_1$	$h_2$	$h_3$
1,4	18,0	23,5	33,5	29,0	34,5	45,0	43,0	48,0	58,0
1,7	16,5	21,0	30,0	27,0	32,5	42,0	40,1	45,5	55,0

Для РРТ-15 эти зависимости приведены в табл. 4.

Таблица 4

v в м/сек	При длине ваеров L в м								
	100			200			300		
	$h_1$	$h_2$	$h_3$	$h_1$	$h_2$	$h_3$	$h_1$	$h_2$	$h_3$
1,1	18,3	23,9	34,2	42,9	47,0	57,0	69,0	74,0	84,2
1,2	17,8	23,5	33,3	41,8	46,4	56,0	68,5	73,6	83,4
1,3	17,4	22,7	32,3	41,2	45,6	55,1	68,0	72,9	82,6
1,4	16,9	22,0	31,4	40,6	45,0	54,3	67,7	72,5	81,8
1,45	16,6	21,8	31,0	40,2	44,6	53,8	67,4	72,2	81,4

Как следует из табл. 3 и 4, глубина погружения опытных конструкций трала очень мало зависит от скорости. Так, при увеличении скорости на 0,7 узла (0,35 м/сек) глубина погружения РРТ-15 при длине ваеров 300 м уменьшается на 1,6 м. Глубина погружения опытных траолов практически не зависит от скорости, т. е. траул устойчиво движется по заданной глубине.

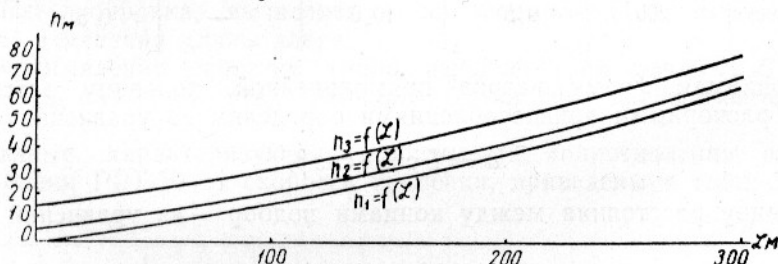


Рис. 15. Зависимость глубины погружения подбор и распорных приспособлений РРТ-15 от длины ваеров при  $v=1,4$  м/сек

Рассмотрим зависимость глубины погружения траула от длины ваеров. На рис. 15 изображены кривые, выражающие зависимость  $h_1$ ,  $h_2$  и  $h_3$  от длины ваеров опытной конструкции РРТ-15 при скорости 1,4 м/сек. Как видно из графика, кривая, выражающая глубину погружения распорных решеток, проходит через начало координат. Две другие кривые, выражающие зависимость  $h_2=f(L)$  и  $h_3=f(L)$ , имеют характер первой.

Это означает, что с увеличением глубины погружения форма конструкции траула не изменяется.

Возрастание глубины погружения происходит не пропорционально длине ваеров. При малых изменениях длины ваеров приращение глубины  $\Delta h$  незначительно и может быть выражено уравнением прямой

$$h = L \operatorname{tg} \delta.$$

Для более точных подсчетов получена следующая эмпирическая зависимость:

$$h_1 = pL^k,$$

где  $p$  и  $k$  — некоторые постоянные параметры, определяемые логарифмированием

$$h_1 = 0,05L^{1.26}. \quad (18)$$

### ЗАВИСИМОСТЬ ВЕРТИКАЛЬНОГО РАСКРЫТИЯ ОПЫТНЫХ КОНСТРУКЦИЙ РРТ-10 И РРТ-15 ОТ СКОРОСТИ

Величиной вертикального раскрытия трала является разница между глубиной погружения нижней и верхней подбор

$$B = h_3 - h_2. \quad (19)$$

Данные, характеризующие зависимость вертикального раскрытия опытных конструкций трала от скорости, приведены в табл. 5.

Таблица 5

Траул	Длина ваеров $L$ в м	Вертикальное раскрытие траула в м при			$\Delta$ в м	$\Delta$ в %
		$v = 1,7$ м/сек	$v = 1,45$ м/сек	$v = 1,2$ м/сек		
РРТ-15	100	—	9,2	9,8	0,6	6,2
	200	—	9,2	9,6	0,4	4,2
	300	—	9,2	9,8	0,6	6,2
РРТ-10	100	9,25	10,0	—	0,75	7,5
	150	9,5	10,0	—	0,5	5,0
	200	9,5	10,0	—	0,5	5,0

Принимая форму ваеров прямолинейной, половину расстояния между распорными приспособлениями определим из уравнения

$$a = L \cos \delta \cos \beta, \quad (20)$$

а половину расстояния между концами подбор — из уравнений

$$\text{для РРТ-15} \quad a_1 = 0,667L \cos \delta \sin \beta + 1, \quad (21)$$

$$\text{для РРТ-10} \quad a_1 = 0,635L \cos \delta \sin \beta + 1. \quad (22)$$

По экспериментальным данным, вертикальное раскрытие  $h_3 - h_2$  колебалось в пределах 9,5—10 м, т. е. при изменении скорости примерно на 0,5 узла (0,25 м/сек) вертикальное раскрытие изменялось примерно на 0,5 м, что не выходит за пределы величины погрешности измерений.

Раскрытие РРТ-15 не достигает запроектированной величины 15 м. Отсюда следует, что углубляющие решетки недостаточны для создания проектного раскрытия траула.

Раскрытие между центрами подбор достигало 9 м при запроектированной величине 10 м.

## ЗАВИСИМОСТЬ ГОРИЗОНТАЛЬНОГО РАСКРЫТИЯ ОПЫТНЫХ КОНСТРУКЦИЙ РПТ-10 И РПТ-15 ОТ СКОРОСТИ

Горизонтальное раскрытие определялось по углу  $2\beta$  между ваерами с последующим пересчетом.

Данные, характеризующие зависимость горизонтального раскрытия  $a_1$  опытных конструкций трала от скорости траления и длины ваеров, приведены в табл. 6.

Таблица 6

$v$ в м/сек	РПТ-15				РПТ-10	
	при $L=100$ м		при $L=200$ м		при $L=100$ м	
	$2\beta$	$a_1$	$2\beta$	$a_1$	$2\beta$	$a_1$
1,2	7°20'	10,4	3°20'	9,6	—	—
1,4	7°50'	11,0	3°40'	10,4	6°00'	8,5
1,7	—	—	—	—	6°30'	9,1

Как следует из табл. 6, горизонтальное раскрытие опытных конструкций при изменении скорости изменяется незначительно.

## ЗАВИСИМОСТЬ СОПРОТИВЛЕНИЯ ОПЫТНЫХ КОНСТРУКЦИЙ РПТ-10 И РПТ-15 ОТ СКОРОСТИ

По принятой методике сопротивление сетной части трала при движении в воде определялось как разность между сопротивлением агрегатным и сопротивлением оснастки трала (распорных, подъемных и углубляющих приспособлений) по формуле (9).

Сила  $N$  является полной гидродинамической силой, действующей на половину трала. Она находится простым измерением натяжения ваера.

На основании данных испытаний построены кривые, выражающие зависимость силы  $N$  от скорости. При построении кривых использованы данные всех значений длины ваеров. При этом в величину  $N$  вбюдилась поправка, вычисляемая по формуле (13), учитывающая влияние изменения длины ваера.

Сопротивление оснастки трала вычисляли по формуле  $C = R_x + U_x + P_x$ ; значения этих величин брали по экспериментальным данным.

Данные, характеризующие зависимость сопротивления опытной конструкции РПТ-10 от скорости траления, приведены в табл. 7.

Таблица 7

$v$ в м/сек	$N$	$\cos \beta$	$\cos \delta$	$\frac{N \cos \beta}{\cos \delta}$	$C = R_x + U_x + P_x$				$\frac{Q}{2}$
					$R_x$	$P_x$	$U_x$	$C$	
1,3	915	0,998	0,983	895	107	39	18	164	731
1,4	1005	0,998	0,984	985	118	42	20	180	805
1,5	1115	0,998	0,984	1095	131	45	24	200	895
1,6	1250	0,998	0,985	1230	149	52	29	230	1000
1,7	1410	0,998	0,986	1390	166	60	34	260	1130

Аналогичные зависимости получены и для опытной конструкции РПТ-15.

Результаты экспериментальных исследований по сопротивлению

сетной части траалов при тралении изображены в виде кривых на рис. 16.

Зная физическую сущность явления, предположим, что кривые представляют собой степенную функцию вида  $y=ax^e$ , а следовательно, могут быть выражены в виде формулы

$$Q = kFv^n. \quad (23)$$

Если построим зависимость  $Q=f(v)$  в логарифмических координатах, получим линейную зависимость между  $\lg Q$  и  $\lg v$ . Это позволит утверждать, что опытные кривые могут быть представлены формулой (23).

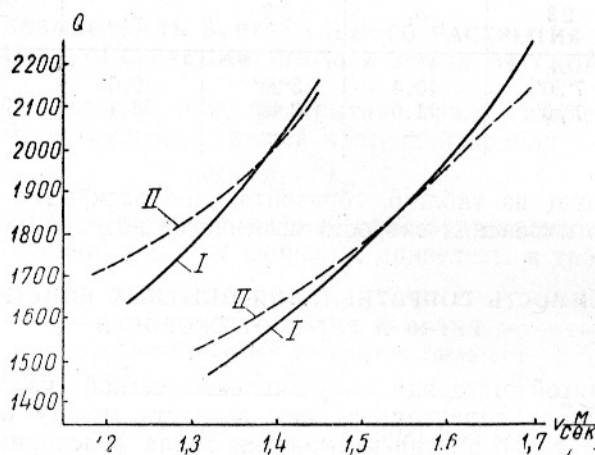


Рис. 16. Зависимость сопротивления  $Q$  сетной части опытных конструкций траала от скорости:  
 I — по экспериментальным данным; II — по расчетным  
 данным, полученным по формуле

Определим коэффициенты этих эмпирических формул, для чего прологарифмируем уравнение (23) и подставим значения координат первых и последних точек кривых.

Для РРТ-15 сопротивление сетной части в зависимости от скорости выражается уравнением  $Q=1200v^{1.6}$ , где  $1200=k_1F_1$ ; для РРТ-10  $Q=950v^{1.6}$ , где  $950=k_2F_2$ .

$$F_1 = 11,1 \cdot 9,2 = 102 \text{ м}^2 \text{ (площадь устья РРТ-15);}$$

$$F_2 = 8,5 \cdot 9,5 = 81 \text{ м}^2 \text{ (площадь устья РРТ-10);}$$

$$k_1 = \frac{1200}{102} = 11,75; \quad k_2 = \frac{950}{81} = 11,75;$$

$$k_1 = k_2 = k = 11,75,$$

поэтому

$$Q = 11,75Fv^{1.6}. \quad (24)$$

В табл. 8 приведены данные, характеризующие изменение процентного соотношения сопротивлений отдельных деталей опытных конструкций траала при изменении скорости.

Таблица 8

$v$ в м/сек	Агрегатное сопротивление $R$ в кг	Сопротивление сетной части $Q$		Сопротивление распорных устройств $R_x$		Сопротивление углубляющих устройств $U_x$		Сопротивление щаровидных поплавков $P_x$	
		в кг	в %	в кг	в %	в кг	в %	в кг	в %
<b>PPT-15</b>									
1,2	1950	1635	83,8	198	10,2	34	1,7	84	4,3
1,45	2550	2155	84,5	250	9,8	44	1,7	102	4,0
<b>PPT-10</b>									
1,3	1790	1460	81,7	214	12,0	36	2,0	78	4,1
1,7	2780	2260	81,2	332	12,0	68	2,5	120	4,3

Как видно из табл. 8, сопротивление отдельных деталей траула в зависимости от скорости изменяется незначительно.

Сопротивление распорных решеток доходит до 10—12% от агрегатного, тогда как сопротивление распорных досок донного траула, по данным Ф. М. Михова, доходит до 40%.

### СОПОСТАВЛЕНИЕ ТЕОРЕТИЧЕСКИХ ЗАВИСИМОСТЕЙ С ЭКСПЕРИМЕНТАЛЬНЫМИ ДАННЫМИ

Рассмотрим возможность применения уравнения цепной линии для определения сопротивления сетной части траула (при раскрытие крыльев по цепной линии), исходя из экспериментальных величин распорной силы.

Представим формулу в следующем виде:

$$\frac{Q}{2} = \frac{R_z}{\frac{S}{4f} - \frac{f}{S}}.$$

Вычислим сопротивление  $Q$  по формуле и сравним его с опытным. При вычислении величину распорной силы  $R_z$  берем с графика (см. рис. 11); длина подборы  $S$  — величина заданная, для PPT-10 она равна 21,05 м, для PPT-15 составляет 31,5 м.

В таблицах элементов цепной линии находим величину  $\frac{f}{S}$  по отношению  $\frac{l}{S}$ . Отсюда определим  $f$  и  $\frac{S}{4f}$ .

Результаты сопоставления теоретических и экспериментальных данных по сопротивлениям опытных конструкций траула приведены в табл. 9.

Таблица 9

$v$ в м/сек	Раскрытие $l$	$\frac{l}{S}$	$\frac{f}{S}$	$f$	$\frac{S}{4f}$	$\frac{S}{4f} - \frac{f}{S}$	$R_z$	$\frac{Q}{2}$ (по формуле)	$\frac{Q}{2}$ (опытное)	Погрешность в %
-------------	---------------	---------------	---------------	-----	----------------	------------------------------	-------	----------------------------	-------------------------	-----------------

### PPT-10

1,3	8,2	0,390	0,432	9,1	0,578	0,146	115	787	731	7
1,7	8,1	0,433	0,419	8,82	0,597	0,178	191	1075	1095	1,9

### PPT-15

1,2	10,4	0,33	0,444	13,98	0,564	0,120	103	860	817	5,0
1,45	11,1	0,353	0,44	13,85	0,578	0,128	138	1075	1077	—

В диапазоне общепринятых скоростей траения (1,4—1,7 м/сек) величина  $Q$ , вычисленная по расчетной формуле, мало отличается от опытной.

Рассмотрим вопрос о глубине погружения опытных конструкций трала.

Вычислим  $h_1$  по  $\operatorname{tg} \beta$  угла наклона ваеров при различных скоростях (формула 10).

Результаты вычислений сравним с опытными данными, приводимыми в табл. 3 и 4.

Сопоставление теоретических зависимостей с экспериментальными данными по изменению глубины погружения опытных конструкций трала приведено в табл. 10.

Т а б л и ц а 10

$v$ в м/сек	$E = R_y + U_y + G - P_y$					$\sin \beta +$ $+ \cos \beta$	$(\sin \beta +$ $+ \cos \beta) E$	$\frac{l}{S}$	$\alpha$
	$R_y$	$U_y$	$G$	$P_y$	$E$				

**PPT-10**

1,4	84	65	87	66	170	1,051	179	0,428	$10^{\circ}10'$
1,7	120	92	87	66	233	1,055	245	0,419	$9^{\circ}50'$

**PPT-15**

1,2	70	60	106	77	160	1,062	170	0,330	$6^{\circ}35'$
1,45	90	69	106	77	188	1,065	200	0,353	$7^{\circ}10'$

Продолжение табл. 10

$v$ в м/сек	$1 - \operatorname{tg} \alpha$	$\frac{Q}{2}$	$\frac{Q}{2} (1 -$ $- \operatorname{tg} \alpha)$	$C + R_z$	$C + R_z +$ $+ \frac{Q}{2} (1 -$ $- \operatorname{tg} \alpha)$	$\operatorname{tg} \delta$	$\sin \delta$	$h_1$ рас- четная	$h_1$ опыта- ная	Разница в м

**PP1-10**

1,4	0,821	805	660	309	965	0,185	0,182	18,2	18,0	0,2
1,7	0,827	1905	935	451	1386	0,177	0,173	17,3	16,5	0,8

**PPT-15**

1,2	0,895	817	730	261	991	0,172	0,169	16,9	17,8	0,9
1,45	0,874	1077	945	336	1291	0,156	0,154	15,4	16,6	1,2

Более показательно эти зависимости представлены на графике (рис. 17).

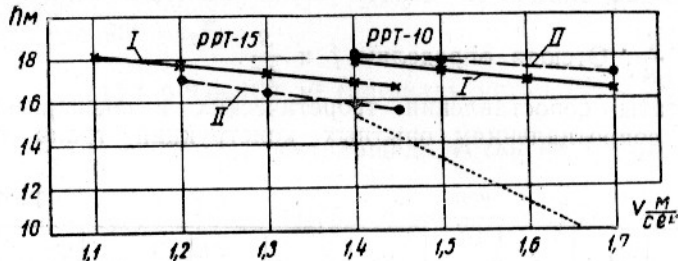


Рис. 17. Сопоставление теоретических зависимостей с экспериментальными данными по изменению глубины погружения опытных конструкций разноглубинных траолов:  
I — по экспериментальным данным; II — по уравнению

Расчетные формулы, подтвержденные экспериментальными данными, свидетельствуют о малых изменениях глубин погружения при изменении скорости, т. е. об устойчивости движения опытных конструкций трала на заданной глубине.

Рассмотрим, как изменяется раскрытие и глубина погружения опытной конструкции РРТ-10, если вместо распорных и углубляющих устройств оснастить его плоскими распорными досками и грузилами, равными по весу углубляющим устройствам.

Исходя из сопротивления сетной части РРТ-10 и распорной силы плоской доски  $R_z$ , определили отношение  $\frac{l}{S'}$ .

В табл. 11 приведены расчетные и опытные величины раскрытия опытных конструкций разноглубинных траолов с различной оснасткой.

Таблица 11

v в м/сек	$\frac{Q}{2}$	$R_z$	$\frac{2R_z}{Q} =$	$f$	$\frac{f}{S}$	$\frac{l}{S'}$	Раскрытие трала	
			$= \frac{S}{4f} - \frac{f}{S}$				с плоскими досками	опытное с распорными решетками
1,3	731	140	0,192	8,68	0,412	0,45	9,5	8,2
1,5	890	191	0,210	8,52	0,48	0,48	10,1	8,7
1,7	1095	263	0,240	8,26	0,52	0,52	10,9	9,1

Как и следовало ожидать, горизонтальное раскрытие опытной конструкции РРТ-10 при оснастке плоскими досками увеличилось, так как распорная сила плоской доски вследствие ее большей площади превышает распорную силу решетки.

Рассмотрим, как изменится глубина погружения РРТ-10 с изменением оснастки, для чего определим числитель и знаменатель уравнения (10).

В табл. 12 и 13 приведены величины числителя и знаменателя, определенные по уравнению (10). По вычисленным данным определяем изменение глубины погружения трала в зависимости от оснастки (табл. 14).

Таблица 12

v в м/сек	$E = R_y + U_y + G - P_y$					$\sin \beta + \cos \beta$	$E (\sin \beta + \cos \beta)$
	$R_y$	$U_y$	$G$	$P_y$	$E$		
1,3	114	32	87	66	167	1,060	177
1,5	101	32	87	66	154	1,065	164
1,7	79	32	87	66	122	1,070	132

Таблица 13

v в м/сек	$\alpha$	$\operatorname{tg} \alpha$	$1 - \operatorname{tg} \alpha$	$\frac{Q}{2} (1 - \operatorname{tg} \alpha)$	$C = R_x + U_x + P_x$				$R_z$	Величина знаменателя
					$R_x$	$U_x$	$P_x$	$C$		
1,3	11°	0,194	0,806	590	204	18	39	261	140	991
1,5	12°	0,213	0,787	700	282	24	45	351	191	1242
1,7	13,5°	0,240	0,760	835	377	34	60	471	263	1569

Таблица 14

v в м/сек	$\operatorname{tg} \delta$	$\sin \delta$	$h_1$
1,3	0,179	0,177	17,7
1,5	0,132	0,130	13,0
1,7	0,084	0,084	8,4

При изменении скорости на 0,4 м/сек глубина погружения РРТ-10, оснащенного простой (не гидродинамической) оснасткой, изменяется на 9,3 м. Это делает работу трала ненадежной, а прицельное трапление на летних скоплениях рыбы трудно осуществимым.

Как видно из табл. 12 и 13, знаменатель уравнения (10) в 5,5—10 раз больше числителя. Следовательно, изменение величины сил, входящих в числитель (т. е. сил углубляющих), влияет на глубину погружения в большей степени, чем изменение величины сил, входящих в знаменатель.

## ВЫВОДЫ

1. Равновесие и величина раскрытия разноглубинного трала зависят от скорости трапления, длины вытравленных ваеров, гидродинамических характеристик распорно-углубляющих и подъемных приспособлений, от сопротивления и веса сетной части трала.

2. Статическое равновесие трала может быть выражено уравнением

$$\operatorname{tg} \delta = \frac{E (\sin \beta + \cos \beta)}{\frac{Q}{2} (1 - \operatorname{tg} \alpha) + C + R_z}; \quad h = L \sin \delta.$$

3. Сопротивление сетной части трала определяется формулой

$$Q = 11,75 F v^{1,6}.$$

4. Между глубиной погружения трала  $h$  и длиной вытравленных ваеров  $L$  существует следующая зависимость:

$$h = 0,05 L^{1,26}, \text{ или в упрощенном виде } h = L \sin \delta.$$

5. Полезные силы, отнесенные к единице площади испытанной распорной решетки, превышают на 38% аналогичные силы плоской распорной доски.

6. Сопротивление оснастки опытных конструкций разноглубинных траолов составляет не более 19% от агрегатного. При этом сопротивление распорных устройств составляет 12%, углубляющих — 2,5%, подъемных (шаровидных поплавков) — 4,5%.

7. Из анализа уравнения (11) следует, что статическое равновесие трала в основном зависит от соотношения углубляющих сил и сил сопротивления. При углах наклона ваеров  $\delta$ , близких у опытных конструкций к  $10^\circ$ ,  $C=5,68$ .

8. Разработанный на основе отечественных исследований разноглубинный траул устойчиво движется на заданной глубине и имеет практически неизменяющееся раскрытие.

## ИСПОЛЬЗОВАННАЯ ЛИТЕРАТУРА

1. Баранов Ф. И., Теория и расчет орудий рыболовства, Пищепромиздат, 1948.
2. Баранов Ф. И., Вертикальное раскрытие траула, «Рыбное хозяйство», 1947, № 2.
3. Смыслов И. Г., Анализ работы шаровидных трауловых поплавков, Труды ВНИРО, т. XXX, Пищепромиздат, 1955.
4. Яковлев А. И., Результаты гидродинамических испытаний трауловых поплавков, Труды ВНИРО, т. XXX, Пищепромиздат, 1955.